

6. Barrat J. L. large slip effect at a nonwetting fluid-solid interface / J. L. Barrat, L. Bocquet // Physical Review Letters. — 1999. — Vol. 82. — P. 4671–4674.
7. Буевич Ю. А. К теории совместной фильтрации несмешивающихся жидкостей в поле тяжести / Ю. А. Буевич // Изв. АН СССР. Механика жидкости и газа. — 1967, № 2. — С. 165–167.
8. Нигматуллин Р. И. Динамика многофазных сред. — Е. 1 / Р. И. Нигматуллин. — М. : Наука, 1987. — 464 с.
9. Бернадинер М. Г. Гидродинамическая теория фильтрации аномальных жидкостей / М. Г. Бернадинер, В. М. Ентов. — М. : Наука, 1975. — 199 с.
10. Леонов Е. Г. Гидроаэродромеханика в бурении / Е. Г. Леонов. — М. : Недра, 1987. — 304 с.
11. Сулейманов Б. А. Об эффекте проскальзывания газожидкостной системы при фильтрации в пористой среде / Б. А. Сулейманов, Х. Ф. Азизов // Нефтяное хозяйство. — 1996. — № 6. — С. 39–42.

The expressions for determining the coefficients of sliding and expenses when filtering Newtonian and non-Newtonian carbonated liquids in a porous medium in the subcritical region. Shows the consistency of the theoretical studies when comparing them with the results of practical calculations.

Key words: newtonian fluid, non-Newtonian fluid filtering carbonated liquid, the coefficient of sliding, reservoir pressure, permeability and porosity of the environment.

Отримано: 19.06.2014

УДК 004.61

В. С. Савіч, аспірант,
О. П. Ошовська, магістр

Одеський національний політехнічний університет, м. Одеса

МОДЕЛЮВАННЯ СТАЦІОНАРНОЇ ФІЛЬТРАЦІЇ НЕНЬЮТОНІВСЬКИХ РІДИН У НЕОДНОРІДНОМУ СЕРЕДОВИЩІ

Розглянуто можливості застосування параметрів ефективної проникності та ефективної в'язкості в математичних моделях процесів фільтрації неньютонівських рідин в однорідних та слоїсто-неоднорідних пористих середовищах. Теоретично отримано залежності, які описують плин неньютонівських рідин за умови введення ефективних проникності та в'язкості, а також експериментально підтверджено вид цих залежностей.

Ключові слова: математична модель; фільтрація в пористому середовищі; неньютонівські рідини; проникність пористого середовища; в'язкість рідини, що фільтрується.

Вступ. Як відомо [1; 2], для неньютонівських (або — аномальних [3]) рідин приймається степеневий закон фільтрації, однаке, в рамках степеневого закону описати отримані S-подібні криві не вдається [4–6].

Строго кажучи, ця задача повинна розв'язуватися з урахуванням масообміну між шарами різної проникності, однаке отримати прості аналітичні розв'язки для практичних розрахунків, навіть при лінійному законі фільтрації в кожному шарі слойсто-неоднорідного пласти досить складно [7]. Разом з тим в теорії фільтрації нелінійні ефекти (які пов'язано з неоднорідністю середовища або рідини) враховуються квазігомогенізацією [8; 9], наприклад, введенням *ефективної проникності*.

Мета роботи. Покажемо можливість опису стаціонарної фільтрації неньютонівської рідини в неоднорідних пористих середовищах введенням ефективних проникності або в'язкості.

Основна частина. У подальшому дослідимо можливість введення ефективних параметрів пористого середовища.

1. Введення ефективної проникності. Не порушуючи загальності, розглянемо фільтрацію в циліндричній трубці довжиною l , заповнений пористим середовищем, причому фільтрацію зумовлено перепадом тиску $\Delta P = P_1 - P_0$. Тоді, відповідно до закону Дарсі [10; 11]

$$v = -\frac{k}{\mu} \frac{dP}{dx}, \quad (1)$$

де k — проникність пористого середовища, μ — в'язкість рідини. Як показали експеримент з фільтрації неньютонівських рідин в однорідному та неоднорідному пористих середовищах [5; 6] ефективна проникність при постійній в'язкості ($\mu = (\mu_{\min} + \mu_{\max})/2$) в значній мірі залежить від перепаду тиску. У тих самих літературних джерелах вказано, що залежність ефективної проникності від перепаду тиску (розглядалася ділянка не ньютонівського плину) в однорідному пористому середовищі описується лінійною функцією (прямою), а у слойсто-неоднорідному (або мікронеоднорідному) середовищі — нелінійною функцією (квадратним тричленом). Вочевидь, більш складні залежності можуть бути описані поліномами більш високих ступенів.

Тоді, приймаючи наприклад, тиск на виході трубки (як в експериментах [4–6]) постійним, можна представити ефективну проникність як функцію тиску у вигляді

$$k_a = a_1 (P_1 - P_0)^2 + a_2 (P_1 - P_0) + a_3, \quad (2)$$

де a_1, a_2, a_3 — сталі коефіцієнти.

Рівняння збереження маси для стаціонарного плину при припущені постійності пористості представимо у вигляді

$$\frac{d(\rho v)}{dx} = 0, \quad (3)$$

де ρ — густина рідини, яка фільтрується.

Стискуваність рідини будемо вважати малою, в лінійному (так званому акустичному [1]) наближенні. Таким чином, приймаємо

$$P_1 - P_0 = c^2 (\rho_1 - \rho_0), \quad (4)$$

де c — швидкість звуку в рідині.

У відповідності до (3) об'ємна витрата \underline{Q} через площеу поперечного перетину F відповідно системі рівнянь (1)–(4) визначається співвідношенням

$$\frac{\underline{Q}l}{F} = \int_0^{\Delta P} \left(1 - \frac{P_0}{c^2 \rho_0} + \frac{P_1}{c^2 \rho_0} \right) \frac{k_a (P_1 - P_0)}{\mu} d(P_1 - P_0). \quad (5)$$

Приймаючи наступні безрозмірні параметри:

$$\bar{Q} = \frac{\underline{Q}}{F} \sqrt{\frac{\rho_0}{P_0}}; \bar{k}(\bar{P}) = k_a \sqrt{\frac{\rho_0 P_0}{l \mu}} = k_2 \bar{P}_1^2 + k_1 \bar{P}_1 + k_0; \quad (6)$$

$$\bar{P} = \frac{P_1 - P_0}{P_0}; \bar{m} = \frac{\rho_0 c^2}{P_0},$$

де k_0, k_1, k_2 — сталі коефіцієнти, та, підставляючи (6) в (5), отримаємо

$$\bar{Q} = \int_0^{\Delta \bar{P}} \left(1 + \frac{\bar{P}}{\bar{m}} \right) \bar{k}(\bar{P}) d\bar{P}, \quad (7)$$

де $\Delta \bar{P} = \frac{\Delta P}{P_0}$. Враховуючи, що для реальних значень $\bar{m} \approx 10^4$, приведемо (7) до виду:

$$\bar{Q} = \frac{k_2}{3} \Delta \bar{P}^3 + \frac{k_1}{2} \Delta \bar{P}^2 + k_0 \Delta \bar{P}. \quad (8)$$

Для кубічної параболи виду (8) легко розрахувати точку перегину з координатами \bar{Q}_0 та $\Delta \bar{P}_0$, а саме:

$$\Delta \bar{P}_0 = -\frac{k_1}{2k_2}; \bar{Q}_0 = \frac{k_1}{2k_2} \left(\frac{k_1^2}{6k_2} - k_0 \right),$$

тобто при $k_2 > 0$, $k_1 < 0$ та $k_0 > \frac{k_1^2}{6k_2}$ залежність $\Delta \bar{P} = f(\bar{Q})$ має S-подібний характер з додатними координатами точки перегину. Позначаючи $n_0 = k_0/k_2$, з (8) отримаємо:

$$\frac{\bar{Q}}{k_2} = \frac{\Delta \bar{P}^3}{3} - \Delta \bar{P}_0 \Delta \bar{P}_1^2 + n_0 \bar{P}_1. \quad (9)$$

На рис. 1 при $\Delta \bar{P}_0 = 0,5$ та різних n_0 наведено залежності $\Delta \bar{P} = f(\bar{Q}_1)$, де $\bar{Q}_1 = (\bar{Q} k_2^{-1}) / (\bar{Q} k_2^{-1})_{\max}$, обчислені по (9), які при

$n_0 = 0,275 - 0,5$ добре описують експериментальні дані з фільтрації не ньютонівських рідин в неоднорідних пористих середовищах. Слід зазначити, що при $k_2 < 0$ та $k_1 > 0$ S-подібний характер будуть мати вже залежності $\bar{Q} = \gamma(\Delta\bar{P})$.

Приймаючи в (6) $k_2 = 0$ (тобто не враховуючи квадратичний член) з (7) отримаємо

$$\frac{\bar{Q}}{k_1} = \frac{\Delta\bar{P}_1^2}{2} + n_1 \Delta\bar{P}_1, \quad (10)$$

де $n_1 = k_0/k_1$.

На рис. 2 при різних n_1 наведено залежності $\Delta\bar{P} = f(\bar{Q}_2)$, де $\bar{Q}_2 = (\bar{Q} k_1^{-1}) / (\bar{Q} k_1^{-1})_{\max}$, обчислені по (10), які описують експериментальні дані з фільтрації неニュтонівських рідин в однорідному пористому середовищі при $n_1 = -0,04 - 0,5$ ($k_1 > 0$). Слід зазначити, що при $k_1 < 0$ залежність $\Delta\bar{P} = f(\bar{Q})$ має характер зростання без насиченості.

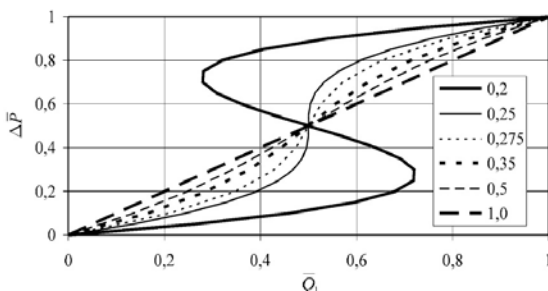


Рис. 1. Залежність $\Delta\bar{P} = f(\bar{Q}_1)$, обчислена за виразом (9)

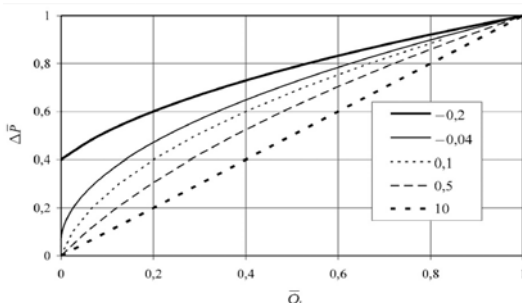


Рис. 2. Залежність $\Delta\bar{P} = f(\bar{Q}_2)$, обчислена за виразом (10)

2. Введення ефективної в'язкості. Отримані вище розв'язки мають той недолік, що вони описують експериментальні дані в обмежено-му інтервалі значень визначаючих параметрів. Це властиво рівнянням в поліноміальній формі (див. рис. 1 та рис. 2). У низці відносно нових робіт [12; 13] для опису законів фільтрації неньютонівських рідин вводиться залежність в'язкості від швидкості зсуву і, відповідно, від швидкості фільтрації при постійній проникності пористого середовища. Очевидно, що отримані розв'язки приводять до раніше розглянутих випадків.

Для усунення цих недоліків в рівнянні (1) приймемо проникність k постійною, а в'язкість μ — залежною від перепаду тиску. Як видно з рис. 3 та рис. 4, експериментальна залежність ефективної в'язкості від перепаду тиску (розглядається ділянка неньютонівського плину) в однорідному пористому середовищі описується прямою, а в слойсто-неоднорідному та мікронеоднорідному середовищі — квадратним тричленом (також вочевидь, більш складні залежності можуть бути описані поліномами більш високих ступенів).

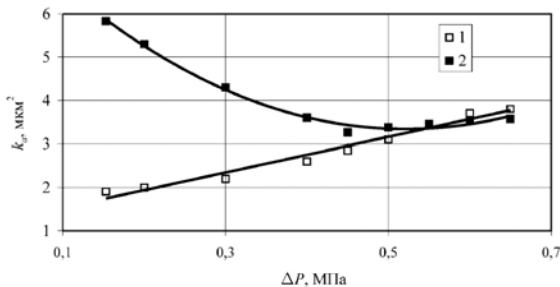


Рис. 3. Залежність експериментальної в'язкості від перепаду тиску в однорідному пористому середовищі

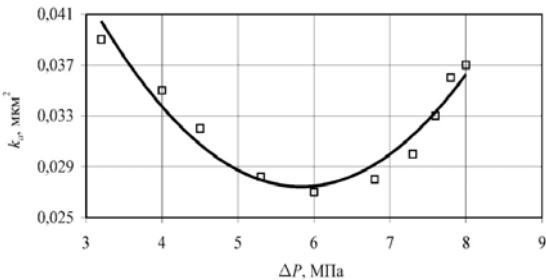


Рис. 4. Залежність експериментальної в'язкості від перепаду тиску в слойсто-неоднорідному середовищі

Тоді, приймаючи, наприклад, тиск на виході зразка (як і в експериментах) постійними, можемо представити ефективну в'язкість як функцію диску у вигляді

$$\mu_a = b_1 (P_1 - P_0)^2 + b_2 (P_1 - P_0) + b_3, \quad (11)$$

де b_1, b_2, b_3 — сталі коефіцієнти.

Приймаючи рівняння збереження маси для стаціонарного плину у вигляді (3) та вважаючи, що рідина є такою, яка мало стискається, в лінійному (акустичному) наближенні, використовуємо рівняння (4). Розв'язуючи спільно рівняння (1), (3) та (4) при умові (11), для об'ємної витрати рідини отримаємо

$$\frac{\mathcal{Q}l}{F} = \int_0^{\Delta P} \left(1 - \frac{P_0}{c^2 \rho_0} + \frac{P_1}{c^2 \rho_0} \right) \frac{k}{\mu_a (P_1 - P_0)} d(P_1 - P_0), \quad (12)$$

де k — абсолютна проникність пористого середовища.

Приймаючи наступні безрозмірні параметри:

$$\bar{Q} = \frac{Q}{F \sqrt{P_0}}; \bar{\mu}(P) = \frac{\mu_a l}{k \sqrt{\rho_0 P_0}} = a \bar{P}_1^2 + b \bar{P}_1 + s; \bar{P} = \frac{P_1 - P_0}{P_0}; \bar{m} = \frac{\rho_0 c^2}{P_0}, \quad (13)$$

де a, b, s — сталі коефіцієнти, з (12) отримаємо

$$\bar{Q} = \int_0^{\Delta \bar{P}} \left(1 + \frac{\bar{P}}{\bar{m}} \right) \frac{d \bar{P}}{\bar{\mu}(\bar{P})}. \quad (14)$$

Після очевидних перетворень та враховуючи, що $\bar{m} \approx 10^4$, при $b^2 - 4as > 0$ з (14) отримаємо

$$\Delta \bar{P} = \frac{2s \left[\exp(\bar{Q} \sqrt{b^2 - 4as}) - 1 \right]}{\sqrt{b^2 - 4as} \left[1 + \exp(\bar{Q} \sqrt{b^2 - 4as}) \right] + b \left[1 - \exp(\bar{Q} \sqrt{b^2 - 4as}) \right]}. \quad (15)$$

Крива, яку описує (15), має точку перегину з координатами \bar{Q}_0

$$\text{та } \Delta \bar{P}_0. \text{ При цьому } \bar{Q}_0 = \frac{1}{\sqrt{b^2 - 4as}} \ln \left| \frac{b + \sqrt{b^2 - 4as}}{\sqrt{b^2 - b - 4as}} \right|; \Delta \bar{P}_0 = -b/2a,$$

тобто при $s > 0, b > 0$ та $a < 0$ залежність $\Delta \bar{P} = f(\bar{Q})$ має S-подібний характер з додатними координатами перегину.

Приймаючи в (13) $a = 0$ (тобто без врахування квадратичного члена), з (14) получимо

$$\Delta \bar{P} = \frac{s \left[\exp(b \bar{Q}) - 1 \right]}{b}. \quad (16)$$

Аналіз рівняння (16) показує, що при $b < 0, s > 0$ залежність $\Delta \bar{P} = f(\bar{Q})$ має характер зростання без насичення.

На рис. 5 при $\Delta\bar{P} = 0,5$ та різних s ($a = -6,6$, $b = 6,6$) наведено залежності $\Delta\bar{P}_* = f(\bar{Q})$ ($\Delta\bar{P}_* = \Delta\bar{P}/\Delta\bar{P}_{\max}$), обчислені по (15), які при $s = 0,1$ добре описують експериментальні дані з фільтрації не ньютоно-вських рідин в неоднорідному пористих середовищі.

На рис. 6 при різних b ($c = 2$) наведено залежності $\Delta\bar{P}_* = f(\bar{Q})$, обчислені по (16), які добре описують експериментальні дані з фільтрації неньютонівських рідин в однорідних пористих середовищах.

Слід зазначити, що при $b^2 - 4as < 0$ вираз (14) має розв'язок

$$\Delta\bar{P} = \frac{\sqrt{4as - b^2}}{2a} \operatorname{tg} \left(\frac{\bar{Q}}{2} \sqrt{4as - b^2} + \operatorname{arctg} \frac{b}{\sqrt{4as - b^2}} \right) - \frac{b}{2a} \quad (17)$$

або, обчислюючи з (17) \bar{Q} :

$$\bar{Q} = \frac{2}{\sqrt{4as - b^2}} \left(\operatorname{arctg} \frac{2a\Delta\bar{P} + b}{\sqrt{4as - b^2}} - \operatorname{arctg} \frac{b}{\sqrt{4as - b^2}} \right). \quad (18)$$

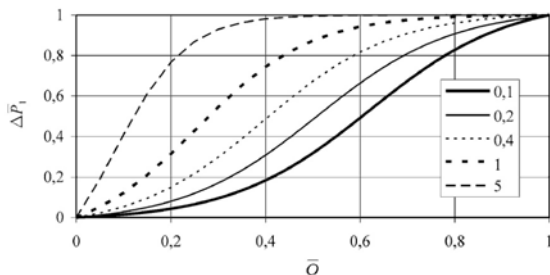


Рис. 5. Залежність $\Delta\bar{P}_* = f(\bar{Q})$, обчислена за виразом (15)

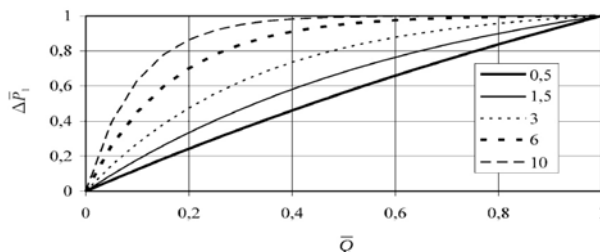


Рис. 6. Залежність $\Delta\bar{P}_* = f(\bar{Q})$, обчислена за виразом (16)

Аналіз виразу (18) показує, що при $b > 0$ та $a > 0$ залежність $\bar{Q} = \gamma(\Delta\bar{P})$ носить S-подібний характер, описуючи фільтрацію з не-

монотонною ефективною в'язкістю, яка має мінімум при певному перепаді тиску. Такий закон фільтрації, відповідно до [14], спостерігається для певних полімерних композицій (псевдо пластичний режим фільтрації змінюється на ділатантний). Зауважимо також, що, якщо в рівнянні (16) $b > 0$ та $s > 0$, залежність $\Delta\bar{P} = f(\bar{Q})$ має характер зростання без насиченості.

3. S-подібний закон фільтрації. Як було зазначено вище, S-подібні залежності $\Delta\bar{P} = f(\bar{Q})$ описуються в рамках модифікованого (за рахунок введених ефективних проникності та в'язкості) лінійного закону фільтрації Дарсі. Однаке опис можливий також і в рамках модифікації нелінійного закону фільтрації Форхгеймера:

$$-\frac{dP}{dx} = \alpha v + \beta v^2 + \lambda v^3.$$

Аналіз цього рівняння показує (при спільному розв'язуванні з (3)), що при $\alpha = 0$ та $\lambda < 0$ воно має S-подібний розв'язок для функцій $\Delta P = \varphi(v)$ та $\Delta P = \varphi(Q)$, причому наведені вище експериментальні результати (рис. 3–6) описуються вказаною моделлю з похибою до 5%.

У зв'язку з цим закон фільтрації, що має S-подібний розв'язок для функцій $\Delta P = \varphi(v)$ та $\Delta P = \varphi(Q)$ або S-подібний закон фільтрації для одновимірного випадку, може бути записано у вигляді:

$$-\frac{dP}{dx} = \alpha v^2 + \beta v^3; \quad \alpha > 0, \quad \beta < 0.$$

Слід зазначити, що додавання квадратичного або кубічного доданків в закон фільтрації обумовлено не тільки покращенням апроксимації залежності $\Delta P = \varphi(v)$ за рахунок збільшення числа емпіричних коефіцієнтів [15], але й фізичними особливостями фільтрації. Лінійний член відбуває визначальний вплив сил в'язкості, квадратичний — нерівноважних властивостей фільтраційного потоку, а кубічний — масообміну між низько- та високопроникними ділянками (тобто властивостями пористого середовища).

Висновок. Таким чином, введення ефективних проникності та в'язкості дозволяє врахувати нелінійні ефекти при стаціонарній фільтрації неньютонівських рідин в однорідних та неоднорідних пористих середовищах.

Список використаних джерел:

- Сулейманов Б. А. Особенности фильтрации гетерогенных систем / Б. А. Сулейманов. — М. : РГУ нефти и газа им. И. М. Губкина, 2006. — 354 с.

2. Щелкачев В. Н. Основы и приложения теории неустановившейся фильтрации / В. Н. Щелкачев. — М. : Нефть и газ, 1995. — Ч. 1. — 586 с.
3. Бернадинер М. Г. Гидродинамическая теория фильтрации аномальных жидкостей / М. Г. Бернадинер, В. М. Ентов. — М. : Наука, 1975. — 199 с.
4. Сулейманов Б. А. Экспериментальные исследования фильтрации релаксирующих жидкостей в неоднородных пористых средах / Б. А. Сулейманов, Э. М. Аббасов, Н. С. Алиев // Инженерно-физический журнал. — 1996. — Т. 69, № 1. — С. 9–15.
5. Малкин А. Я. Нормальные напряжения при течении аномально-вязких полимерных систем / А. Я. Малкин // Механика полимеров. — 1971. — № 3. — С. 506–514.
6. Меликов Г. Х. Экспериментальное исследование влияния релаксационных свойств газожидкостных систем на фильтрацию в неоднородных пористых средах / Г. Х. Меликов // Изв. ВУЗов СССР. Нефть и газ. — 1988, № 10. — С. 35–38.
7. Бан А. Р. Влияние свойств горных пород на движение в них жидкости. / А. Р. Бан, А. Ф. Богомолова, В. А. Максимов. — М. : Энергия, 1985. — 275 с.
8. Quintard M. Two phase flow in heterogeneous porous media: the method of large-scale averaging / M. Quintard, S. Whitaker // Transport in porous media. — 1988. — № 3. — Р. 357–413.
9. Saez A. The effective homogeneous behavior of homogeneous porous media / A. Saez, C. J. Otero, I. Rusinek // Transport in porous media. — 1989. — № 4. — Р. 212–238.
10. Азиз Х. Математическое моделирование пластовых систем / Х. Азиз, Э. Сеттари. — М. : Недра, 1982. — 406 с.
11. Кричлоу Г. Б. Современная разработка нефтяных месторождений — проблемы моделирования / Г. Б. Кричлоу. — М. : Недра, 1979. — 302 с.
12. Chauveteau G. Rodlike Polymer Solution Flow Through Fines Pores: Influence of Pole Size on Rheological Behavior / G. Chauveteau // Journal of the Rheological. — 1999. — V. 26 (2). — Р. 111–142.
13. Enevoldsen J. Pressure Drop Throgh Gravel Packs / J. Enevoldsen, H. K. Rasmussen // Annual Transactions of the Nordic Rheology Society. — 1995. — Vol. 3. — Р. 45–47.
14. Григорашенко В. И. Применение полимеров в добывче нефти / В. И. Григорашенко, Ю. В. Зайцев, А. Х. Мирзаджанзаде. — М. : Недра, 1978. — 213 с.
15. Баренблат Г. И. Движение жидкостей и газов в природных пластиах / Г. И. Баренблат, В. М. Ентов, В. М. Рыжик. — М. : Недра, 1989. — 488 с.

Possibility of the use of parameters of effective permeability and effective viscosity is considered in the mathematical models of processes of filtration of non-newtonian liquids in homogeneous and stratified-heterogeneous porous environments. Dependences are got in theory, describing the flow of non-newtonian liquids on condition of introduction of effective permeability and viscosity, and also the type of these dependences is experimentally confirmed.

Key words: *mathematical model, filtration in a porous environment, non-newtonian liquid, permeability of porous environment, viscosity of filter-passing liquid.*

Отримано: 23.09.2014